

## ЭФФЕКТ ФАРАДЕЯ В КРИСТАЛЛАХ $\text{Bi}_{25}\text{FeO}_{40}$

Г. Бабонас, Р. Дагис,  
Г. Пукинскас, Е. И. Леонов

Чувствительность силленитов к внешним воздействиям, используемая в приборах оптоэлектроники, обусловливает интерес к исследованиям магнитооптических свойств этих кристаллов. Наличие ионов переходного металла в силлените железа  $\text{Bi}_{25}\text{FeO}_{40}$  (BFO) позволяет предполагать в нем особенности эффекта Фарадея по сравнению с другими силленитами [1].

Эффект Фарадея ( $\mathcal{E}\Phi$ ) и магнитный круговой дихроизм (МКД) исследовались на кристаллах BFO, оптические свойства которых представлены в [2], по методике [3]. На рис. 1 показаны спектры коэффициента Верде  $V(\lambda)$  для BFO и  $\text{Bi}_{12}\text{SiO}_{20}$  (BSO),  $\mathcal{E}\Phi$  в котором является типичным для силленитов [1]. Выраженная особенность  $\mathcal{E}\Phi$  в BFO — его сильная темпера-

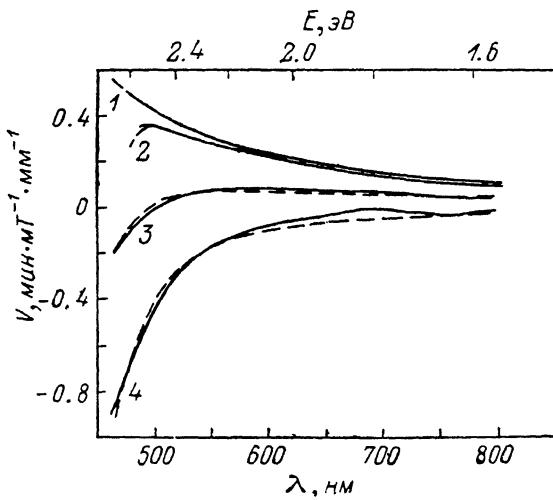


Рис. 1. Экспериментальные (сплошные) и вычисленные (штриховые) спектральные зависимости постоянной Верде  $V(\lambda)$  для BSO (1) и BFO (2—4) при  $T=300$  (1, 2),  $80$  (3) и  $6$  К (4).

турная зависимость с изменением знаков дисперсии и величины  $V(\lambda)$ . Это свойство выделяет BFO среди силленитов, в которых положительный  $\mathcal{E}\Phi$  не зависит от температуры.

На рис. 2 приведены спектры поглощения, кругового дихроизма (КД) и МКД в BFO. Как и в других железосодержащих силленитах [4], в BFO структуры поглощения при 530 и 700—750 нм, более выраженные в дифференциальных спектрах, обусловлены внутрицентровыми  $d-d$ -переходами ионов Fe [2]. Спектры МКД показывают, что ионы  $\text{Fe}^{3+}$  дают вклад в  $\mathcal{E}\Phi$  в BFO, сильно зависящий от температуры, однако в области  $d-d$ -переходов, как запрещенных по четности, их вклад в спектры  $V(\lambda)$  является слабым (рис. 1). Более существенным должно быть влияние переходов с переносом заряда.

Спектроскопические свойства силленитов  $\text{Bi}_{12}\text{MO}_{20}$  удобно рассматривать в диэлектрической теории химической связи как сумму вкладов от характерных связей  $\text{Bi}-\text{O}$  и  $\text{M}-\text{O}$  [5]. Преобладающее влияние связей  $\text{Bi}-\text{O}$  определяет одинаковую структуру оптических спектров в полосе собственного поглощения, а в формировании длинноволнового края существует также вклад от связей  $\text{M}-\text{O}$ . В таком приближении рассмотрим особенности спектральной и температурной зависимостей  $\mathcal{E}\Phi$  в BFO.

Экспериментальные спектры  $V(\lambda)$  в BFO описывались двухосцилляторной моделью. За первый высокоэнергетический член, не зависящий от температуры, принимался диамагнитный вклад, оцененный по экспериментальным данным для BSO и представляющий возбуждение связи Bi—O. Согласованием вычисленных значений  $V(\lambda)$  с экспериментальными для BFO методом наименьших квадратов получена энергия осциллятора 4.80 эВ, соответствующая установленной в [1].

Второй осциллятор для BFO сопоставлялся с возбуждением связи Fe—O. Принималось, что он ответствен за температурную зависимость коэффициента Верде и обращение его знака. Полученные согласованием расчетных данных с экспериментальными значениями энергии второго осциллятора близки к краевым переходам и равны 2.6 эВ при 300 К и 3.0 эВ при 6 и 77 К для частотной зависимости типа  $(E_0^2 - E^2)^{-1}$ . Они увеличивались на 0.3 эВ для зависимости  $(E_0^2 - E^2)^{-2}$ .

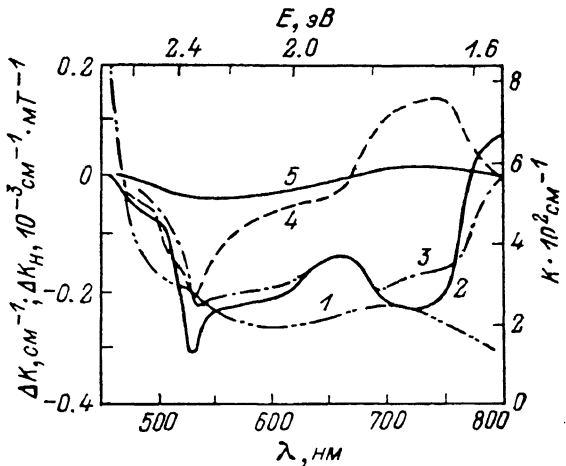


Рис. 2. Спектры поглощения  $K$  (1) (правая шкала) [2], кругового дихроизма  $\Delta K$  (2, 3) и магнитного кругового дихроизма  $\Delta K_H$  (4, 5) кристаллов BFO при  $T=6$  (1, 2, 4) и  $300$  К (3, 5).

Появление второго члена в дисперсии ЭФ в BFO в принципе может быть обусловлено несколькими механизмами. Для ионов  $S$ -типа в подобного рода задачах [6], как правило, учитывается смешивание, обусловленное спин-орбитальным взаимодействием и взаимодействием  $3d$ -электронов с кристаллическим полем, состояний основного и возбужденных термов, которыми для иона  $\text{Fe}^{3+}$  являются  $^6S$  и  $^4P$ ,  $^4G$  соответственно. Однако в данном случае этот механизм существенного влияния не имеет, на что указывает отсутствие значительных структур на кривых  $V(\lambda)$ . По-видимому, слабое влияние оказывает и второй простой механизм, обусловленный учетом возбуждений  $3d^5 \rightarrow 3d^4$  *pr* атомного типа, который приводит в выражении  $V(\lambda)$  к парамагнитному члену с частотной зависимостью  $(E_0^2 - E^2)^{-2}$ . Энергии соответствующих переходов довольно большие и не коррелируют с экспериментальной величиной  $E_0$ . Наиболее вероятным механизмом, который приводит к парамагнитному члену с энергией эффективного осциллятора, близкой к краевым переходам, является учет смешивания состояний, соответствующих возбуждению валентного электрона в зону проводимости и атомному возбуждению  $3d \rightarrow nl$ .

Следует также отметить, что отсутствие больших изменений магнитной восприимчивости при понижении температуры до 77 К и спонтанного вращения плоскости поляризации при гелиевых температурах подтверждает, что основной причиной сильных температурных изменений коэффициента Верде являются особенности энергетической структуры кристаллов BFO.

Таким образом, ЭФ в силленитах  $\text{Bi}_{12}\text{MO}_{20}$  можно представить суммой двух вкладов, которые в диэлектрической теории приписываются возбужде-

ниям связей  $\text{Bi}-\text{O}$  и  $\text{M}-\text{O}$  с доминирующим первым вкладом. В ВFO связь  $\text{Fe}-\text{O}$  обуславливает отрицательное фарадеевское вращение и его сильную температурную зависимость, тем самым выделяя этот кристалл в группе силленитов.

### Л и т е р а т у р а

- [1] Бурков В. И., Красилов Ю. И., Козлова Н. Л. и др. ФТТ, 1973, т. 15, № 4, с. 1036—1038.
- [2] Сенулена Д. Б., Бабонас Г. А., Леонов Е. И. и др. ФТТ, 1984, т. 26, № 5, с. 1281—1284.
- [3] Пукинскис Г. Б. ПТЭ, 1986, № 3, с. 243—244.
- [4] Бурков В. И., Волков В. В., Каргин Ю. Ф. и др. ФТТ, 1984, т. 26, № 7, с. 2216—2218.
- [5] Бабонас Г. В кн.: Электроны в полупроводниках. Вильнюс: Мокслас, 1987, т. 6, с. 41—124.
- [6] Crossley W. A., Cooper R. W., Page J. L. Phys. Rev., 1969, vol. 181, N 2, p. 896—904.

Институт физики полупроводников  
АН ЛитССР  
Вильнюс

Поступило в Редакцию  
2 ноября 1987 г.  
В окончательной редакции  
21 марта 1988 г.

УДК 548 : 539.12.04

Физика твердого тела, том 30, в. 8, 1988  
*Solid State Physics, vol. 30, № 8, 1988*

## ОПТИЧЕСКОЕ ПОГЛОЩЕНИЕ $\alpha\text{-Al}_2\text{O}_3$ ПРИ ВОЗБУЖДЕНИИ СУБНАНОСЕКУНДНЫМИ ИМПУЛЬСАМИ ЭЛЕКТРОНОВ

R. G. Дейч

В настоящей работе продолжено изучение механизма короткоживущего переходного поглощения  $\alpha\text{-Al}_2\text{O}_3$ , начатое в [1]. Измерялась кинетика поглощения, наводимого в  $\alpha\text{-Al}_2\text{O}_3$  импульсом электронов (50 пс, 450 кэВ,  $\sim 100 \text{ A/cm}^2$ ). Регистрация осуществлялась с помощью электронно-оптической камеры «Агат-СФ1». Временное разрешение установки 20 пс. Ошибка в определении показателя поглощения не превышала  $\Delta x = -0.15 \text{ см}^{-1}$ . Одиночный импульс электронов наводил в образце концентрацию электронно-дырочных пар  $N = (3 \pm 5) \cdot 10^{16} \text{ см}^{-3}$ . Величина  $N$  была определена по генерации F-центров в KCl, для которого известен квантовый выход дефектообразования [2].

Нарастание оптического поглощения происходит за время импульса возбуждения (рис. 1), т. е. время создания оптически активных состояний в спектральной области 1.2—3.0 эВ  $\tau_0 < 50$  пс. Спад поглощения хорошо описывается экспонентой, причем время спада  $\tau_c$  увеличивается при повышении чистоты образца (при 80 К для кривых 1—3  $\tau_c$  составляет  $0.8 \pm 0.2$ ,  $1.8 \pm 0.3$  и  $5.0 \pm 0.9$  пс соответственно). Начальные значения  $x_0$ , измеренные в момент окончания импульса ускорителя для различных образцов, в пределах погрешности эксперимента совпадают. При комнатной температуре  $\tau_c$  уменьшается и для рубина (кривая 4) составляет  $0.5 \pm 0.1$  пс.

Спектр короткоживущего поглощения представляет полосу с максимумом при 2.0 эВ и полушириной при 80 К  $\sim 0.8$  эВ (рис. 2, кривые 1, 2). Величины  $x_0$  не зависят от образца, а  $\tau_c$  постоянны и соответствуют данным рис. 1. При 300 К полоса уширивается и амплитуда ее уменьшается приблизительно в 2 раза (кривая 3). Сечение поглощения при 2.0 эВ составляет  $\sigma_p = x_0/N \approx 0.3 \cdot 10^{-16} \text{ см}^2$ .